

I₈Sb₁₀Ge₃₆

Mohammed Kars,^{a*} Thierry Roisnel,^b Vincent Dorcet,^b Allaoua Rebbah^a et L. Carlos Otero-Díaz^c

^aUniversité Houari-Boumediène, Faculté de Chimie, Laboratoire Sciences des Matériaux, BP 32, El-Alia Bab-Ezzouar, Algérie, ^bCentre de Diffractométrie X, Sciences Chimiques de Rennes, UMR 6226 CNRS Université de Rennes 1, Campus de Beaulieu, Avenue du Général Leclerc, Rennes, France, et ^cDepartamento Inorgánica, Facultad C.C. Químicas, Universidad Complutense, 28040 Madrid, Espagne

Correspondence e-mail: mkarsdz@yahoo.fr

Reçu le 4 mai 2010; accepté le 12 mai 2010

Key indicators: single-crystal X-ray study; $T = 150$ K; mean $\sigma(I-\text{Ge}) = 0.0004 \text{ \AA}$; disorder in main residue; R factor = 0.037; wR factor = 0.091; data-to-parameter ratio = 55.7.

Single crystals of the title compound, octaiodide decaantimonate hexatriacontagermanide, were grown by chemical transport reactions. The structure is isotopic with the analogous clathrates-I. In this structure, the (Ge,Sb)₄₆ framework consists of statistically occupied Ge and Sb sites that atoms form bonds in a distorted tetrahedral arrangement. They form polyhedra that are covalently bonded to each other by shared faces. There are two polyhedra of different sizes, *viz.* a (Ge,Sb)₂₀ dodecahedron and a (Ge,Sb)₂₄ tetracosahedron in a 1:3 ratio. The guest atom (iodine) resides inside these polyhedra with symmetry $m\bar{3}$ (Wyckoff position 2a) and $\bar{4}2m$ (Wyckoff position 2d), respectively.

Littérature associée

La synthèse en phase vapeur des premiers clathrates $X_8\text{Ge}_{38}A_8$ ($X = \text{Cl}, \text{Br}, \text{I}; A = \text{P}, \text{As}, \text{Sb}$) était décrite par Menke & von Schnering (1973) et von Schnering & Menke (1976). Les structures sont isotypes aux hydrates de gaz correspondants (Pauling & Marsh, 1952). Pour les propriétés semiconductrices et thermoélectriques, voir respectivement Chu *et al.* (1982) et Kishimoto *et al.* (2006). Pour les propriétés structurales et la conductivité thermique, voir Nolas *et al.* (2000) et Shimizu *et al.* (2009). L'histoire et les développements récents des composés type clathrate du silicium et des éléments de la colonne 14 ont été relatés par Cros & Pouchard (2009). L'étude par diffraction électronique et HRTEM du clathrate I₈Ge_{40.0}Te_{5.3} a été réalisée par Kovnir *et al.* (2006). Pour autres composés type clathrate du germanium, voir Ayouz (2009); Lattner *et al.* (2000); Nesper *et al.* (1986).

Partie expérimentale*Données cristallines*

I ₈ Sb ₁₀ Ge ₃₆	Z = 1
$M_r = 4834,8$	Mo $K\alpha$ radiation
Cubique, $Pm\bar{3}n$	$\mu = 30,49 \text{ mm}^{-1}$
$a = 10,8907 (2) \text{ \AA}$	$T = 150$ K
$V = 1291,72 (3) \text{ \AA}^3$	$0,10 \times 0,08 \times 0,07 \text{ mm}$

Collection des données

Diffractomètre Bruker APEXII	27124 réflexions mesurées
Correction d'absorption: multi-scan (SADABS; Sheldrick, 2002)	1003 réflexions indépendantes
$T_{\min} = 0,082, T_{\max} = 0,116$	900 réflexions avec $I > 3\sigma(I)$
	$R_{\text{int}} = 0,041$

Affinement

$R[F^2 > 2\sigma(F^2)] = 0,037$	18 paramètres
$wR(F^2) = 0,091$	3 restraints
$S = 2,00$	$\Delta\rho_{\max} = 1,48 \text{ e \AA}^{-3}$
1003 réflexions	$\Delta\rho_{\min} = -2,97 \text{ e \AA}^{-3}$

Collection des données: SAINT (Bruker, 2002); affinement des paramètres de la maille: SAINT; reduction des données: SAINT; programme(s) pour la solution de la structure: SHELXS97 (Sheldrick, 2008); programme(s) pour l'affinement de la structure: JANA2000 (Petříček *et al.*, 2000); graphisme moléculaire: DIAMOND (Brandenburg & Putz, 2009); logiciel utilisé pour préparer le matériel pour publication: JANA2000.

Les auteurs remercient Adrian Gómez-Herrero pour les analyses XEDS.

Des documents complémentaires et figures concernant cette structure peuvent être obtenus à partir des archives électroniques de l'UICr (Référence: BR2144).

Références

- Ayouz, K., Kars, M., Rebbah, A. & Rebbah, H. (2009). *Acta Cryst. E65*, i15.
 Brandenburg, K. & Putz, H. (2009). DIAMOND. Crystal Impact GbR, Bonn, Allemagne.
 Bruker (2002). SAINT. Bruker AXS Inc., Madison, Wisconsin, les Etats Unis.
 Chu, T. L., Chu, S. S. & Ray, R. L. (1982). *J. Appl. Phys.* **53**, 7102–7103.
 Cros, C. & Pouchard, M. (2009). *C. R. Chim.* **12**, 1014–1056.
 Kishimoto, K., Arimura, S. & Koyanagi, T. (2006). *Appl. Phys. Lett.* **88**, 222115–222117.
 Kovnir, K. A., Abramchuk, N. S., Zaikina, J., Baitinger, M., Burkhardt, U., Schnelle, W., Olenev, A. V., Lebedev, O., Van Tendeloo, G., Dikarev, E. & Shevelkov, A. (2006). *Z. Kristallogr.* **221**, 527–532.
 Lattner, S., Bu Xianhui, H., Blake, N., Metiu, H. & Stucky, G. (2000). *J. Solid. State. Chem.* **151**, 61–64.
 Menke, H. & von Schnering, H. G. (1973). *Z. Anorg. Allg. Chem.* **395**, 223–238.
 Nesper, R., Curda, J. & von Schnering, H. G. (1986). *Angew. Chem.* **98**, 369–370.
 Nolas, G. S., Weakley, T. J. R., Cohn, J. L. & Sharm, R. (2000). *Phys. Rev. B* **61**, 3845–3850.
 Pauling, L. & Marsh, R. E. (1952). *Proc. Natl Acad. Sci. USA* **38**, 112–118.
 Petříček, V., Dušek, M. & Palatinus, L. (2000). JANA2000. Institut de Physique, Prague, la République tchèque.
 Schnering, H. G. von & Menke, H. (1976). *Z. Anorg. Allg. Chem.* **424**, 108–114.
 Sheldrick, G. M. (2002). SADABS. Bruker AXS Inc., Madison, Wisconsin, les Etats Unis.
 Sheldrick, G. M. (2008). *Acta Cryst. A64*, 112–122.
 Shimizu, H., Oe, R., Ohno, S., Kume, T., Sasaki, S., Kishimoto, K. & Koyanagi, T. (2009). *J. Appl. Phys.* **105**, 043522–043527.

supporting information

Acta Cryst. (2010). E66, i47 [https://doi.org/10.1107/S1600536810017496]

I₈Sb₁₀Ge₃₆

Mohammed Kars, Thierry Roisnel, Vincent Dorcet, Allaoua Rebbah et L. Carlos Otero-Díaz

S1. Comment

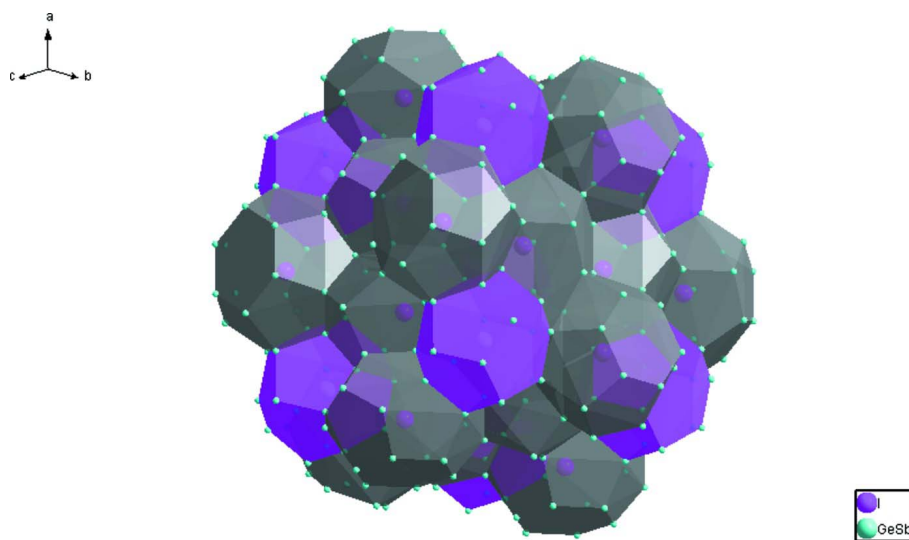
Les clathrates semiconducteurs de formulation $X_8\text{Ge}_{38}\text{A}_8$ (X : Cl, Br, I; A: P, As, Sb) (Menke & von Schnerring, 1973; von Schnerring & Menke, 1976) constituent les premiers clathrates à sous réseau hôte anionique et à réseau d'accueil mixte et cationique. Les structures de ces clathrates ont été déterminées par isotropie aux hydrates de gaz correspondants (Pauling & Marsh, 1952). De plus au cours d'essais de synthèse du clathrate vide Ge₄₆, une phase qui correspond à I₈Ge_{46-x}I_x ($x = 8/3$) avait été obtenue de manière inattendue (Nesper *et al.*, 1986). Ces composés ont connus un regain d'intérêt au cours de ces dernières années, essentiellement en raison de leurs propriétés semi-conductrices (Chu *et al.*, 1982), thermoélectriques (Kishimoto *et al.*, 2006) et de conductivités thermiques très prometteuses (Shimizu *et al.*, 2009). L'histoire et les derniers développements des composés type clathrate du silicium et des éléments apparentés de la colonne 14 ont été relatés récemment dans un étendu article par Cros & Pouchard (2009). Le composé I₈Sb₁₀Ge₃₆ est décrit par la juxtaposition de deux types de polyèdres: les dodécaèdres pentagonaux (Ge, Sb)₂₀ et les tétrakaïdècaèdres (Ge, Sb)₂₄. Les atomes d'iode se logent au centre des cavités formées par ces polyèdres. Les atomes clathrands possèdent une coordination tétraédriques avec des distances [2.5032 (3)–2.5562 (6) Å] comparables à celles obtenues dans les composés clathrates Ge₁₄Ga₁₂Sb₂₀I₈ [2.5792 (4)–2.6836 (3) Å] (von Schnerring & Menke, 1976) et dans Ba₈Ga_{17.134}Sb_{2.78}Ge_{25.595} [2.462 (3)–2.5791 (3) Å] (Lattner *et al.*, 2000). Enfin, il faut remarquer que comme pour le composé I₈As₂₁Ge₂₅ (Ayoush *et al.*, 2009) l'agitation thermique (ADP's) autour de l'atome I2 (site 6d) est comparable à celles des autres atomes constituants le clathrate, ce n'est pas le cas de nombreux composés clathrates au germanium où l'agitation thermique autour de X2 est beaucoup plus large: X₈Ga₁₆Ge₃₀ (X : Sr, Eu) (Nolas *et al.*, 2000) et Ge_{40.0}Te_{5.3}I₈ (Kovnir *et al.*, 2006).

S2. Experimental

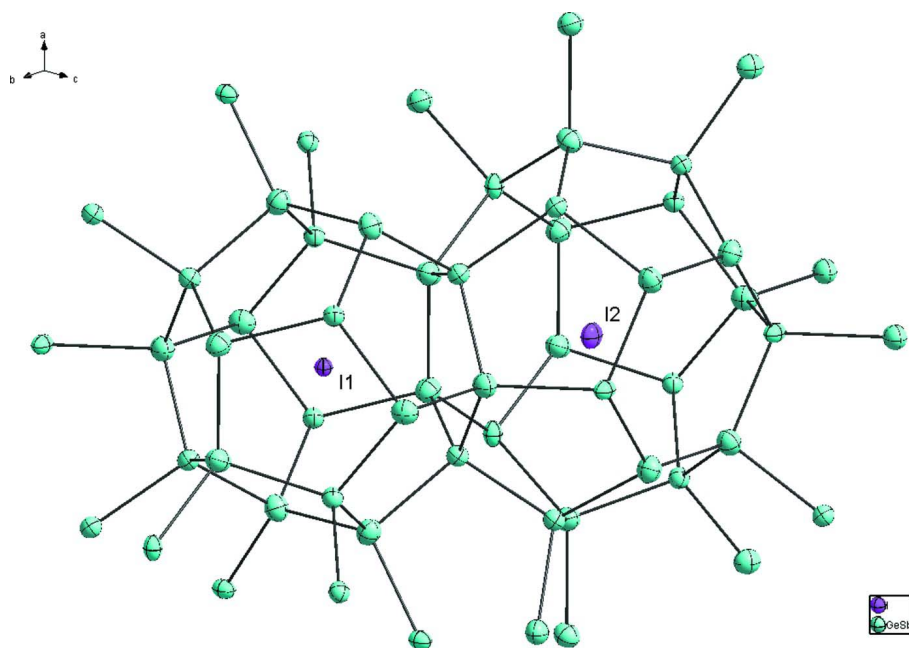
La synthèse de monocristaux de I₈Sb₁₀Ge₃₆ a été réalisée par la méthode de transport en phase vapeur à partir d'un mélange d'éléments purs. Le mélange broyé puis scellé dans un tube en quartz, est porté à une température de 1100 K pendant environ une semaine.

S3. Refinement

La structure a été déterminée par isotropie aux clathrates-I dans le groupe d'espace $Pm\bar{3}n$ avec une occupation statistique des sites 6c, 16i et 24k par les atomes de germanium et d'antimoine. Tous les sites mixtes Ge/Sb ont été affinés avec une contrainte d'occupation totale égale à l'unité. Les sites 2a et 6d sont occupés totalement par les atomes d'iode. La composition du clathrate obtenue en fin d'affinement I₈Sb_{9.77}Ge_{36.23} [Ge(at.%) = 67.09; Sb(at.%) = 18.09; I(at.%) = 14.81] est proche de celle déduite par analyse chimique au MEB [Ge(at.%) = 65.19; Sb(at.%) = 18.88; I(at.%) = 15.93].

**Figure 1**

Structure du clathrate $I_8Sb_{10}Ge_{36}$ montrant les deux types de polyèdres: les dodécaèdres pentagonaux $(Ge, Sb)_{20}$ (en rose) et les tétrakaïdècaèdres $(Ge, Sb)_{24}$ (en gris). Les atomes d'iode sont localisés au centre de ces polyèdres.

**Figure 2**

Deux cages adjacentes dans la structure du clathrate $I_8Sb_{10}Ge_{36}$ avec un déplacement des ellipsoïdes à 95% de probabilité.

octaiodide decaantimonate hexatriacontagermanide

Crystal data

$I_8Sb_{10}Ge_{36}$
 $M_r = 4834.8$
Cubic, $Pm\bar{3}n$
Hall symbol: -P 4n 2 3
 $a = 10.8907 (2)$ Å

$V = 1291.72 (3)$ Å³
 $Z = 1$
 $F(000) = 2082$
 $D_x = 6.213$ Mg m⁻³
Mo $K\alpha$ radiation, $\lambda = 0.71073$ Å

Cell parameters from 6120 reflections
 $\theta = 2.6\text{--}45.3^\circ$
 $\mu = 30.49 \text{ mm}^{-1}$

$T = 150 \text{ K}$
Cubic, black
 $0.10 \times 0.08 \times 0.07 \text{ mm}$

Data collection

Bruker APEXII
diffractometer
Radiation source: fine-focus sealed tube
Graphite monochromator
CCD rotation images, thin slices scans
Absorption correction: multi-scan
(SADABS; Sheldrick, 2002)
 $T_{\min} = 0.082$, $T_{\max} = 0.116$

27124 measured reflections
1003 independent reflections
900 reflections with $I > 3\sigma(I)$
 $R_{\text{int}} = 0.041$
 $\theta_{\max} = 45.3^\circ$, $\theta_{\min} = 2.6^\circ$
 $h = -21 \rightarrow 18$
 $k = -21 \rightarrow 21$
 $l = -20 \rightarrow 20$

Refinement

Refinement on F^2
 $R[F > 3\sigma(F)] = 0.037$
 $wR(F) = 0.091$
 $S = 2.00$
1003 reflections
18 parameters

3 restraints
Weighting scheme based on measured s.u.'s $w = 1/[\sigma^2(F) + 0.001444F^2]$
 $(\Delta/\sigma)_{\max} = 0.0004$
 $\Delta\rho_{\max} = 1.48 \text{ e } \text{\AA}^{-3}$
 $\Delta\rho_{\min} = -2.97 \text{ e } \text{\AA}^{-3}$

Special details

Refinement. Refinement of F^2 against ALL reflections. The weighted R -factor wR and goodness of fit S are based on F^2 , conventional R -factors are based on F , with F set to zero for negative F^2 . The threshold expression of $F^2 > n^*\sigma(F^2)$ is used only for calculating R -factors etc. and is not relevant to the choice of reflections for refinement. The program used for refinement, Jana2000, uses the weighting scheme based on the experimental expectations, see `_refine_ls_weighting_details`, that does not force S to be one. Therefore the values of S are usually larger than the ones from the SHELX program.

Fractional atomic coordinates and isotropic or equivalent isotropic displacement parameters (\AA^2)

	x	y	z	$U_{\text{iso}}^*/U_{\text{eq}}$	Occ. (<1)
I1	0	0	0	0.00492 (8)	
I2	0.25	0.5	0	0.00789 (9)	
Ge1	0.11736 (4)	0	0.30899 (4)	0.00934 (11)	0.823 (7)
Ge2	0.18365 (2)	0.18365 (2)	0.18365 (2)	0.00749 (8)	0.699 (8)
Sb3	0.25	0	0.5	0.00867 (17)	0.118 (11)
Sb1	0.117356	0	0.308994	0.00934 (11)	0.177 (7)
Sb2	0.18365	0.18365	0.18365	0.00749 (8)	0.301 (8)
Ge3	0.25	0	0.5	0.00867 (17)	0.882 (11)

Atomic displacement parameters (\AA^2)

	U^{11}	U^{22}	U^{33}	U^{12}	U^{13}	U^{23}
I1	0.00492 (14)	0.00492 (14)	0.00492 (14)	0	0	0
I2	0.00455 (18)	0.00956 (15)	0.00956 (15)	0	0	0
Ge1	0.00836 (18)	0.00909 (18)	0.01058 (19)	0	-0.00110 (11)	0
Ge2	0.00749 (14)	0.00749 (14)	0.00749 (14)	0.00030 (7)	0.00030 (7)	0.00030 (7)
Sb3	0.0117 (4)	0.0071 (3)	0.0071 (3)	0	0	0
Sb1	0.00836 (18)	0.00909 (18)	0.01058 (19)	0	-0.00110 (11)	0

Sb2	0.00749 (14)	0.00749 (14)	0.00749 (14)	0.00030 (7)	0.00030 (7)	0.00030 (7)
Ge3	0.0117 (4)	0.0071 (3)	0.0071 (3)	0	0	0

Bond lengths (Å)

I1—Ge1	3.5997 (4)	I2—Ge1 ^{xix}	3.6570 (3)
I1—Ge1 ⁱ	3.5997 (4)	I2—Ge1 ^{viii}	3.6570 (3)
I1—Ge1 ⁱⁱ	3.5997 (4)	I2—Ge1 ^{xx}	3.6570 (3)
I1—Ge1 ⁱⁱⁱ	3.5997 (4)	I2—Ge1 ^{xxi}	3.6570 (3)
I1—Ge1 ^{iv}	3.5997 (4)	I2—Ge1 ^{xi}	3.6570 (3)
I1—Ge1 ^v	3.5997 (4)	I2—Sb3 ^{xvi}	3.8504
I1—Ge1 ^{vi}	3.5997 (4)	I2—Sb3 ^{xvii}	3.8504
I1—Ge1 ^{vii}	3.5997 (4)	I2—Sb3 ^{xxii}	3.8504
I1—Ge1 ^{viii}	3.5997 (4)	I2—Sb3 ^{xxiii}	3.8504
I1—Ge1 ^{ix}	3.5997 (4)	I2—Sb1 ^{xvi}	3.657
I1—Ge1 ^x	3.5997 (4)	I2—Sb1 ^{xvii}	3.657
I1—Ge1 ^{xi}	3.5997 (4)	I2—Sb1 ^{xviii}	3.657
I1—Ge2	3.4642 (3)	I2—Sb1 ^{xix}	3.657
I1—Ge2 ⁱ	3.4642 (3)	I2—Sb1 ^{viii}	3.657
I1—Ge2 ⁱⁱ	3.4642 (3)	I2—Sb1 ^{xx}	3.657
I1—Ge2 ⁱⁱⁱ	3.4642 (3)	I2—Sb1 ^{xxi}	3.657
I1—Ge2 ^{xii}	3.4642 (3)	I2—Sb1 ^{xi}	3.657
I1—Ge2 ^{xiii}	3.4642 (3)	I2—Ge3 ^{xvi}	3.8504
I1—Ge2 ^{xiv}	3.4642 (3)	I2—Ge3 ^{xvii}	3.8504
I1—Ge2 ^{xv}	3.4642 (3)	I2—Ge3 ^{xxii}	3.8504
I1—Sb1	3.5997	I2—Ge3 ^{xxiii}	3.8504
I1—Sb1 ⁱ	3.5997	Ge1—Ge1 ⁱⁱⁱ	2.5562 (6)
I1—Sb1 ⁱⁱ	3.5997	Ge1—Ge2	2.5269 (4)
I1—Sb1 ⁱⁱⁱ	3.5997	Ge1—Ge2 ^{xv}	2.5269 (4)
I1—Sb1 ^{iv}	3.5997	Ge1—Sb3	2.5326 (4)
I1—Sb1 ^v	3.5997	Ge1—Sb1 ⁱⁱⁱ	2.5562 (4)
I1—Sb1 ^{vi}	3.5997	Ge1—Sb2	2.5269 (3)
I1—Sb1 ^{vii}	3.5997	Ge1—Sb2 ^{xv}	2.5269 (3)
I1—Sb1 ^{viii}	3.5997	Ge1—Ge3	2.5326 (4)
I1—Sb1 ^{ix}	3.5997	Ge2—Ge2 ^{xxiv}	2.5032 (4)
I1—Sb1 ^x	3.5997	Ge2—Sb1	2.5269 (3)
I1—Sb1 ^{xi}	3.5997	Ge2—Sb1 ^{iv}	2.5269 (3)
I1—Sb2	3.4642	Ge2—Sb1 ^{viii}	2.5269 (3)
I1—Sb2 ⁱ	3.4642	Ge2—Sb2 ^{xxiv}	2.5032 (3)
I1—Sb2 ⁱⁱ	3.4642	Sb3—Sb1	2.5326
I1—Sb2 ⁱⁱⁱ	3.4642	Sb3—Sb1 ^{xxv}	2.5326
I1—Sb2 ^{xii}	3.4642	Sb3—Sb1 ^{xxvi}	2.5326
I1—Sb2 ^{xiii}	3.4642	Sb3—Sb1 ^{xxvii}	2.5326
I1—Sb2 ^{xiv}	3.4642	Sb1—Sb1 ⁱⁱⁱ	2.5562
I1—Sb2 ^{xv}	3.4642	Sb1—Sb2	2.5269
I2—Ge1 ^{xvi}	3.6570 (3)	Sb1—Sb2 ^{xv}	2.5269

I2—Ge1 ^{xvii}	3.6570 (3)	Sb1—Ge3	2.5326
I2—Ge1 ^{xviii}	3.6570 (3)	Sb2—Sb2 ^{xxiv}	2.5032

Symmetry codes: (i) $-x, -y, -z$; (ii) $x, -y, -z$; (iii) $-x, y, z$; (iv) z, x, y ; (v) $-z, -x, -y$; (vi) $z, -x, -y$; (vii) $-z, x, y$; (viii) y, z, x ; (ix) $-y, -z, -x$; (x) $-y, -z, x$; (xi) $y, z, -x$; (xii) $-x, -y, z$; (xiii) $x, y, -z$; (xiv) $-x, y, -z$; (xv) $x, -y, z$; (xvi) $-y+1/2, x+1/2, z-1/2$; (xvii) $y+1/2, -x+1/2, -z+1/2$; (xviii) $y+1/2, x+1/2, -z+1/2$; (xix) $-y+1/2, -x+1/2, z-1/2$; (xx) $-y, -z+1, -x$; (xxi) $-y, -z+1, x$; (xxii) $z-1/2, -y+1/2, x-1/2$; (xxiii) $-z+1/2, y+1/2, -x+1/2$; (xxiv) $-y+1/2, -x+1/2, -z+1/2$; (xxv) $x, -y, -z+1$; (xxvi) $-x+1/2, z-1/2, y+1/2$; (xxvii) $-x+1/2, -z+1/2, y+1/2$.